

УДАРНАЯ ИОНИЗАЦИЯ И ЛАВИННОЕ УМНОЖЕНИЕ В КЛАССИЧЕСКИХ ПОЛУПРОВОДНИКОВЫХ СВЕРХРЕШЕТКАХ

А.С. К ю р е г я н

В последние годы в связи с проблемой создания малощумящих лавинных фотодиодов интенсивно исследуется ударная ионизация (УИ) в сверхрешетках на основе сложных соединений элементов 3 и 5 групп (см. библиографию в [1, 2]). До сих пор изучались сверхрешетки, каждый из периодов которых содержит один или два резких гетероперехода, что приводит к наличию даже в сильном внешнем поле потенциальных ям для одного или обоих типов носителей зарядов, снижающих быстродействие приборов и вызывающих ряд нежелательных нелинейных эффектов. В настоящей работе впервые исследована УИ в варизонных сверхрешетках с плавно изменяющимся составом и шириной запрещенной зоны \mathcal{E}_g , свободных от этих недостатков.

Мы решим задачу в дрейфовом приближении [3], согласно которому УИ производится только электронами (дырками), пролетевшими вдоль поля без рассеяния путь $y_n(y_p)$, необходимый для увеличения кинетической энергии \mathcal{E} от нуля в точке $x + y_n$ (в точке $x - y_p$) до порога УИ $\mathcal{E}_n(\mathcal{E}_p)$ в точке x . Для полупроводника переменного состава, помещенного в неоднородное электрическое поле с потенциалом $\varphi(x)$, длины невозмущенного дрейфа $y_{n,p}(x)$ определяются уравнениями

$$\mathcal{E}_{c,v}(x \pm y_{n,p}) - \mathcal{E}_{c,v}(x) + q\varphi(x) - q\varphi(x \pm y_{n,p}) \mp \mathcal{E}_{n,p}(x) = 0, \quad (1)$$

где $\mathcal{E}_{c,v}(x)$ — энергии дна зоны проводимости и потолка валентной зоны, электрическое поле $F = d\varphi/dx$ направлено вдоль оси x , верхний знак относится к электронам, нижний — к дыркам. Если F достаточно велико, то потенциальные ямы для электронов и дырок отсутствуют, их перенос осуществляется только за счет дрейфа в эффективных полях $E_{n,p} = F + \frac{1}{q} \frac{d\mathcal{E}_{c,v}}{dx}$, и стационарное лавинное умножение можно описать с помощью нелокальных уравнений непрерывности

$$\frac{dj_p(x)}{dx} = \frac{dj_n(x)}{dx} = \alpha_n(x) j_n(x + y_n) + \alpha_p(x) j_p(x - y_p), \quad (2)$$

где $j_n = qn\bar{v}_n$ и $j_p = qp\bar{v}_p$ — плотности токов, $\alpha_{n,p} = (\tau_{n,p}\bar{v}_{n,p})^{-1} P_{n,p}$ — коэффициенты УИ, $\tau_{n,p}$ и $P_{n,p} = \exp\left(-\frac{y_{n,p}}{\lambda_{n,p}}\right)$ — время и вероятность баллистического полета путей $y_{n,p}$, $\bar{\lambda}_n^{-1} = y_n^{-1} \int_x^{x+y_n} \lambda_n^{-1} dx'$, $\bar{\lambda}_p^{-1} = y_p^{-1} \int_x^{x-y_p} \lambda_p^{-1} dx'$, $\lambda_{n,p} = \lambda_{n,p}[x, \mathcal{E}(x)]$ — фоновые длины свободного пробега, n и p —

концентрации электронов и дырок. В дрейфовом приближении $y_{n,p} \gg \bar{\lambda}_{n,p}$, поэтому

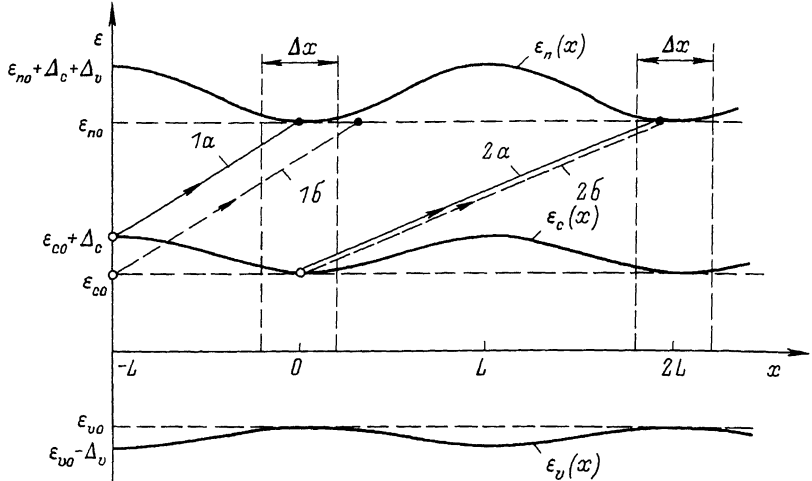
$$\alpha_n y_n + \alpha_p y_p \ll 1, \quad (3)$$

в (2) можно положить $j_{n,p}(x \pm y_{n,p}) \approx j_{n,p}(x)$ и лавинное умножение описывается обычным образом, хотя зависимости $\alpha_{n,p}(E)$ могут быть существенно нелокальными. Если $\epsilon_{n,p}^2 dE_{n,p}/dx \ll q^2 E_{n,p}^3 \bar{\lambda}_{n,p}$, то в уравнении (1) можно ограничиться первыми членами разложения функций $\epsilon_{c,v}(x \pm y_{n,p})$ и $\psi(x \pm y_{n,p})$, в результате чего получается $y_{n,p} = \epsilon_{n,p}(x)/q E_{n,p}(x)$, т.е. $\alpha_{n,p}$ локально зависят от напряженности поля и параметров полупроводника. Если состав полупроводника изменяется настолько медленно, что $\epsilon_{n,p} d\epsilon_{c,v}/dx \ll q^2 E_{n,p}^3 \bar{\lambda}_{n,p}$, то влиянием квазиэлектрического поля $\frac{1}{q} d\epsilon_{c,v}/dx$ на УИ также можно пренебречь. Этот предельный случай, когда изменение ϵ_g сводится к появлению дополнительной (по сравнению с гомопереходом) зависимости $\alpha_{n,p}$ от координаты в виде $\alpha_{n,p} = \alpha_{n,p}[x; \epsilon_{n,p}(x)]$, был исследован в первых работах [4, 5], посвященных анализу УИ в варизонных полупроводниках. Наконец, при $d\epsilon_{c,v}/dx = 0$ изложенный выше подход эквивалентен нелокальной теории УИ в обычных р-п-переходах [6] и является простым ее обобщением на случай переменного состава. В гомопереходах условие (3) применимости теории выполняется либо при очень слабом умножении, либо когда толщина слоя эффективного умножения $W_e \gg y_{n,p}$ и эффект нелокальности пренебрежимо мал. Принципиально иная ситуация может реализоваться, если область сильного поля р-п-перехода представляет собой сверхрешетку с периодом $2L \lesssim y_{n,p} \ll W_e$. В этом случае умножение можно описать с помощью усредненных по периоду сверхрешетки коэффициентов УИ

$$\bar{\alpha}_n = \frac{\tilde{\alpha}_n}{2L} \int_{-L}^L \exp\left(-\frac{y_n}{\bar{\lambda}_n}\right) dx, \quad (5)$$

где $\tilde{\alpha}_n = (\tau_n v_n)^{-1}$. Здесь мы ограничимся рассмотрением варизонной сверхрешетки в однородном в масштабе $2L$ электрическом поле. Будем считать, что $\epsilon_c(x) = \epsilon_{c0} + \Delta_c \psi(x)$, $\epsilon_v(x) = \epsilon_{v0} - \Delta_v \psi(x)$; $\epsilon_n(x) = \xi(\epsilon_c - \epsilon_v)$, где Δ_c , Δ_v и ξ - постоянные величины ($2\Delta_{c,v} < qFL$), а периодическую функцию $\psi(x)$ аппроксимируем отрезками парабол: $\psi(x) = 2(\frac{x}{L} - 2k)^2$ при $(2k - \frac{1}{2})L < x < (2k + \frac{1}{2})L$ и $\psi(x) = 1 - 2(\frac{x}{L} - 2k - 1)^2$ при $(2k + \frac{1}{2})L < x < (2k + \frac{3}{2})L$ (см. рисунок). При этом изменение состава приводит к периодическому увеличению ϵ_g и ϵ_n от "исходных" значений ϵ_{g0} и ϵ_{n0} до $(\epsilon_{g0} + \Delta_c + \Delta_v)$ и $[\epsilon_{n0} + \xi(\Delta_c + \Delta_v)]$. Если напряженность поля E такова, что для интервала $-L < 2x < L$, дающего основной вклад в $\bar{\alpha}_n$, величина y_n лежит, например, в пределах $(2k + \frac{1}{2})L - x < y_n < (2k + \frac{3}{2})L - x$, то решение уравнения (1) имеет вид

$$y_n = \frac{L}{4\Delta_c} \left\{ \epsilon_0 - [\epsilon_0^2 - 8\Delta_c(\epsilon_{n0} - \Delta_c - (2k+1)\epsilon_0 + 2\Delta_n \frac{x^2}{L^2} + \epsilon_0 \frac{x}{L})]^{1/2} + 4\Delta_c \left(2k+1 - \frac{x}{L}\right) \right\}, \quad (6)$$



Схематичное изображение зависимостей $\epsilon_c(x)$, $\epsilon_v(x)$ и $\epsilon_n(x)$ в ва-
ризонной сверхрешетке с $\xi = 1$. Траектории баллистических элект-
ронов, дающих основной вклад в УИ, изображены прямыми линиями:
1 - при $E = \frac{\epsilon_{no} - \Delta_c}{qL}$; 2 - при $E = \frac{\epsilon_{no}}{2qL}$; а - в сверхрешетке с перио-
дом $2L$; б - в гомогенном материале с $\epsilon_c = \epsilon_{co}$ и $\epsilon_v = \epsilon_{vo}$. Δx - об-
ласть эффективной УИ.

где $\epsilon_0 = qEL$, $\Delta_n = \Delta_c + \xi(\Delta_c + \Delta_v)$, $k = 0, 1, 2 \dots$. Подинтеграль-
ная функция в (5) имеет острый максимум апри $x = \tilde{x}$, поэтому
 $\tilde{\alpha}_n$ можно вычислить методом перевала. Приняв обычное в теории
УИ допущение о постоянстве λ_n , получим из (6)

$$\tilde{x} = \frac{L \epsilon_0}{4 \Delta_n} \left\{ \left[1 - 8 \frac{\Delta_n \Delta_c}{\Delta_n - \Delta_c} \frac{\epsilon_{no} - \Delta_c - (2k+1) \epsilon_0}{\epsilon_0^2} \right]^{1/2} - 1 \right\}, \quad (7)$$

откуда

$$\tilde{\alpha}_n(E) = \tilde{\alpha}_n \sqrt{\frac{\pi}{8} \frac{qE \lambda_n}{\Delta_n + \Delta_c}} \exp \left[-\frac{L}{\lambda_n} (2k+1) + \frac{\tilde{x}}{\lambda_n} \left(\frac{\Delta_c}{\Delta_n} + 1 \right) \right]. \quad (8)$$

Особенно наглядной зависимость $\tilde{\alpha}_n(E)$ становится при $(qEL)^2 \gg 8\Delta_c |\epsilon_{no} - \Delta_c - (2k+1)qEL|$. В этом случае

$$\tilde{\alpha}_n(E) = \alpha_{no}(E) \sqrt{\frac{\pi}{8} \frac{qE \lambda_n}{\Delta_n + \Delta_c}} \exp \left\{ \frac{\Delta_c}{qE \lambda_n} - \frac{\Delta_c}{qE \lambda_n} \frac{2\Delta_n}{\Delta_n + \Delta_c} \left[\frac{\epsilon_{no} - \Delta_c}{qEL} - (2k+1) \right]^2 \right\}, \quad (9)$$

где $\alpha_{no}(E) = \tilde{\alpha}_n \exp \left(-\frac{\epsilon_{no}}{qE \lambda_n} \right)$ - коэффициент УИ в "исходном" полупро-
воднике с минимальными $\epsilon_g = \epsilon_{go}$ и $\epsilon_n = \epsilon_{no}$. Аналогичный расчет при
 $(qEL)^2 \gg 8\Delta_c |\epsilon_{no} - 2kqEL|$ дает

$$\bar{\alpha}_n(E) = \alpha_{no}(E) \sqrt{\frac{\pi}{8} \frac{qE\lambda_n}{\Delta_n - \Delta_c}} \exp \left\{ \frac{\Delta_c}{qE\lambda_n} \frac{2\Delta_n}{\Delta_n - \Delta_c} \left[\frac{\varepsilon_{no}}{qEL} - 2k \right]^2 \right\}. \quad (10)$$

В обоих случаях основной вклад в УИ дают узкие области толщиной $\Delta x \sim \frac{L}{2} \sqrt{\frac{qE\lambda_n}{\Delta_n}} \ll 2L$ вблизи $x \approx 2kL$, где $\varepsilon_c(x)$ и $\varepsilon_n(x)$ минимальны, что приводит к появлению малых предэкспоненциальных множителей в (8)–(10). Если $2kqEL = \varepsilon_{no}$, то порог УИ в этих областях достигается электронами, стартующими из дна ям сверхрешетки (траектория 2а на рисунке) и не имеющими начального избытка энергии, малость $\Delta x/2L$ ничем не компенсируется, а отношение $\bar{\alpha}_n/\alpha_{no} \ll 1$ минимально. Если же $(2k+1)qEL = \varepsilon_{no} - \Delta_c$, то энергия ε_{no} достигается в точке $x = 2kb$ электронами, стартующими с „горбов“ сверхрешетки (траектория 1а на рисунке) и имеющими начальный избыток энергии Δ_c по сравнению с ε_{co} . Поэтому в (9) появляется большой множитель $\exp(\Delta_c/qE\lambda_n)$ компенсирующий малость $\frac{\Delta x}{2L}$, а отношение $\bar{\alpha}_n/\alpha_{no} \gg 1$ и достигает максимума.

Таким образом, плавное периодическое увеличение ε_g и ε_n может приводить не только к уменьшению (что вполне естественно), но и к увеличению $\bar{\alpha}_n$, наблюдавшемуся ранее в ступенчатых сверхрешетках [1]. Величина этого существенно нелокального эффекта определяется отношением $\frac{\Delta_c}{qE\lambda_n}$ и при $2L \ll \lambda_e$ не связана (в отличие от обычных р–п–переходов [4]) ни с условием (3) применимости теории, ни с величиной умножения, зависящего от $\bar{\alpha}_n \lambda_e$.

В заключение отметим, что попытка применить дрейфовое приближение для расчета $\bar{\alpha}_n(E)$ была недавно предпринята в работе [2], результаты которой оказались ошибочными, так как ее авторы не учитывали изменение пороговой энергии ε_n одновременно с $\varepsilon_{c,v}$.

Однако они совершенно справедливо указали на то, что эффект усиления УИ можно трактовать как результат увеличения F за счет сложения с квазиэлектрическим полем $\frac{1}{q} \frac{d\varepsilon_{c,v}}{dx}$ и сильной сверхлинейной зависимости $\alpha(E)$. Такая интерпретация позволяет утверждать, что полученные нами результаты в качественном отношении не связаны с условиями применимости дрейфового приближения, поэтому описанные выше эффекты должны наблюдаться, хотя и не в столь ярко выраженной форме, и в сильных электрических полях.

Л и т е р а т у р а

- [1] С а р а с с о F. – Semiconductors and Semimetals, N-Y, Academic, 1985, v. 22, ptD, chap. 1.
- [2] В р е н н а н К., Н е с с К., С а р а с с о F. – Appl. Phys. Lett., 1987, v. 50, N 26, p. 1897.
- [3] Ш о к л и В. – УФН, 1962, т. 77, № 1, с.161.
- [4] А р у т ю н я н В.М., В у л ь А.Я., П е т р о с я н С.Г., Ш м а р ц е в Ю.В. – Письма в ЖТФ, 1980, т.6, № 14, с. 838

- [5] А р у т ю н я н В.М., П е т р о с я н С.Г. - ФТП, 1980, т. 14, № 10, с. 2001.
- [6] G r i b n i k o v Z.S., I v a s t c h e n k o V.M., M i t i n V.V. - Phys. stat. sol. (b), 1981, v. 105, N 2, p. 451.

Всесоюзный электротехнический институт им. В.И. Ленина
Москва

Поступило в Редакцию
19 января 1988 г.
В окончательной редакции
7 мая 1988 г.

Письма в ЖТФ, том 14, вып. 24

26 декабря 1988 г.

ЭФФЕКТЫ АНОМАЛЬНОЙ РЕЛАКСАЦИИ В СМЕСЯХ МОЛЕКУЛЯРНЫХ И ОДНОАТОМНЫХ ГАЗОВ

А.П. Б е д и н

Одним из проявлений аномальной релаксации в ударных волнах (УВ) в газах является релаксационная неустойчивость течения, возникающая при достижении телом некоторой критической скорости полета и выражающаяся в появлении в ранее однородном потоке возмущений УВ и течения в целом, обусловленных локальным микровзрывным выделением энергии в ударном слое [1, 2]. В данной работе приводятся результаты экспериментального исследования этого явления в смесях фреонов-12, 114 (Φ -12- CF_2Cl_2 , Φ -114- $C_2F_4Cl_2$) с Ar или He , а также друг с другом. Эксперименты проведены на баллистической установке [3] при давлении $p = 0,04$ МПа и температуре $T = 291$ К. Концентрация примеси к каждому из фреонов $x_i = p_i/p$ (p_i - парциальное давление примеси) менялось от 0 до 1. При проведении экспериментов использовались сегментально-конические тела диаметром $d = 26$ или 28 мм с радиусом лобового сегмента $R = 1,5$. Угол атаки был равным 0, число Маха не превышало значения $M = 10$.

В результате обработки простых теневых фотографий, полученных в экспериментах, были определены области существования (в переменных x_i , M) неустойчивости течения в газовых смесях и измерены максимальные амплитуды пульсаций головной ударной волны Δ на режимах аномальной релаксации (см. рис. 1, 2). На рис. 1 представлены нейтральные кривые, разграничивающие области устойчивого и неустойчивого течения, для смесей фреонов друг с другом и с инертными газами. Там же показаны нейтральные кривые для чистых фреонов при давлении, соответствующему парциальному давлению их в смеси p ($I - x_i$). Светлыми точками на графиках отмечены границы устойчивого течения, темными - неустойчивого, в промежутке между ними находится область пере-